

## **GRANULACJA TALERZOWA OTRĘBÓW PSZENNYCH Z WYKORZYSTANIEM GĘSTWY DROŻDŻOWEJ JAKO CIECZY WIĄŻĄCEJ**

Stanisław Peroń, Mariusz Surma, Marta Pasławska  
*Instytut Inżynierii Rolniczej, Uniwersytet Przyrodniczy we Wrocławiu*

**Streszczenie.** Badano wpływ kąta pochylenia talerza granulatora oraz czasu trwania granulacji na rozkład wielkości granul, ich powierzchnię właściwą, gęstość usypową oraz porowatość zgranolowanego złożą. Wyniki przedstawiono w postaci wykresów.

**Słowa kluczowe:** granulacja talerzowa, otręby pszenne, gęstwa drożdżowa

### **Wprowadzenie i cel badań**

Podczas produkcji spirytusu, wina i piwa powstaje szereg produktów ubocznych, wśród których znaczący udział ma gęstwa drożdżowa zawierające drożdże z gatunku „*Saccharomyces cerevisiae*”.

Pod względem ilościowym w Polsce przeważa gęstwa drożdżowa browarnicza. Szacuje się, że rocznie w kraju powstaje ok. 5 tys. ton gęstwy browarnianej.

Na temat utylizacji gęstwy drożdżowej różnego pochodzenia ukazało się szereg prac naukowych i patentów. Szczególnie badano przydatność gęstwy drożdżowej do celów paszowych [Lewis 1990; Pelczar i in. 1982; Rieque 1998; Roques 1991; Stone 1998; Tacon 1987].

Część badań wykazała m.in., że drożdże browarnicze pod względem zawartości aminokwasów są równoważne mączce rybnej i przewyższają soję. Jak do tej pory najsukuteczniejszą metodą utrwalania gęstwy jest suszenie, głównie w suszarkach walcowych lub rozpylowych. Analiza literatury oraz własne obserwacje pozwalają przypuszczać, że odpowiednieszym sposobem (ze względu na jakość i opłacalność procesu) byłoby suszenie gęstwy na nośniku porowatym jakim są np. otręby pszenne.

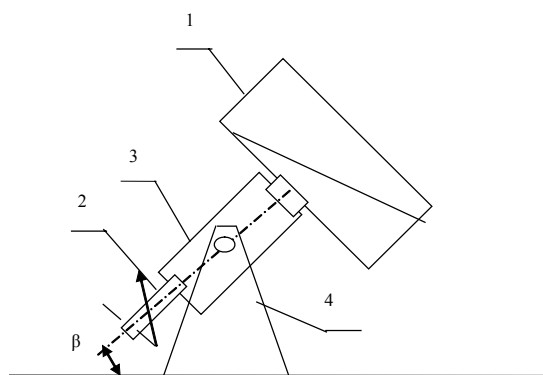
Badania wstępne dowiodły, że właściwe dozowanie zawiesiny gęstwy drożdżowej na złożę nośnika np. w granulatorze talerzowym pozwala uzyskać syphki i łatwy do wysuszenia produkt, np. w suszarce fontannowej.

Interesująca ze względu na niskie nakłady inwestycyjne i energetyczne jest granulacja talerzowa [Korpal 1999].

Celem niniejszej pracy było określenie wpływu: kąta pochylenia talerza granulatora oraz czasu granulacji na rozkład wielkości granul, ich powierzchnię właściwą, gęstość usypową oraz porowatość zgranolowanego złożą.

## Stanowisko pomiarowe i metodyka badań

Granulację otrębów pszennych z wykorzystaniem gęstwy drożdżowej jako cieczy wiążącej prowadzono w laboratoryjnym granulatorze talerzowym, którego schemat przedstawia rysunek 1.



Rys. 1. Granulator talerzowy: 1 – talerz granulatora, 2 – wał napędzający, 3 – tuleja, 4 – wspornik,  $\beta$  – kąt pochylenia

Fig. 1. Plate granulator: 1 – plate of granulator, 2 – driving shaft, 3 – muff, 4 – pylon,  $\beta$  – angle of inclination

Talerz granulatora stanowił cylindryczny pojemnik plastikowy o średnicy 300mm. Jako napęd wykorzystano silnik repulsyjny o mocy 0,3kW umożliwiający osiągnięcie niskich obrotów talerza.

Do badań wykorzystano browarniczą gęstwę drożdżową o wilgotności ok. 80% oraz otręby pszenne o wilgotności ok. 16%. Stosunek masowy otrębów do gęstwy wyniósł 1:1. Zmiennymi parametrami były:

- kąt pochylenia talerza granulatora względem poziomu  $\beta=45^\circ, 50^\circ, 55^\circ$ ,
  - czas granulacji: 5, 10, 15 minut.
- Stosowano stałe wypełnienie talerza – wynoszące 200g (100g otrębów i 100g gęstwy) oraz stałe obroty talerza  $n=60\text{obr min}^{-1}$ .

Gęstość granul określano z zależności:

$$\rho = \frac{6m_d}{\pi d^3} \quad (1)$$

gdzie:

- $m_d$  – masa granuli,
- $d$  – średnica zastępcza granuli.

Pomiarów masy  $m_d$  (z dokładnością  $\pm 0,0001\text{g}$ ) oraz średnicy  $d$  (z dokładnością  $\pm 0,1\text{mm}$ ) dokonano na próbce złożonej z 50 granul. Gęstość usypową  $\rho_u$  mierzono za

## Granulacja talerzowa otrębów...

pomocą naczynia miarowego o objętości  $0,001 \text{ m}^3$  z dokładnością  $\pm 1\%$ . Skład frakcyjny oraz powierzchnię właściwą granul określano na podstawie analizy sitowej wg PN-76/M-94001.

Porowatość złożu granul  $\varepsilon_o$  określano z zależności:

$$\varepsilon_o = 1 - \frac{\rho_u}{\rho} \quad (2)$$

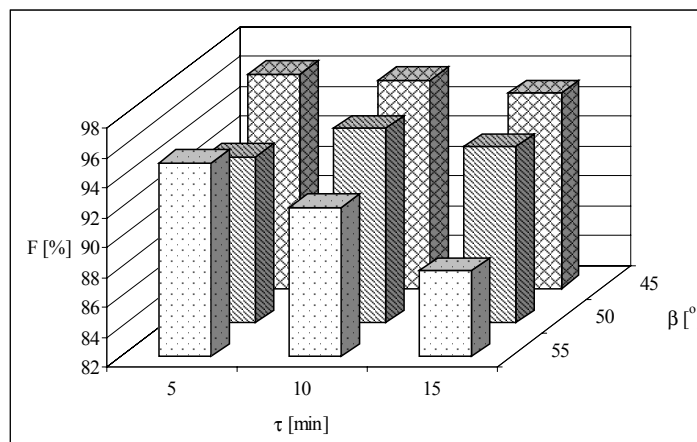
Ułamek masowy  $U_m$  określano z zależności:

$$U_m = \frac{m_f}{m_g} \quad (3)$$

gdzie:  $m_f$  – masa granul określonej frakcji,  $m_g$  – masa całego granulatu.

## Wyniki badań

Na rysunku 2 pokazano wpływ czasu granulacji oraz kąta pochylenia talerza granulatora na procentowy udział masy powstałego granulatu F w stosunku do masy początkowego wsadu 200 g (100 g otrębów + 100 g gęstwy).



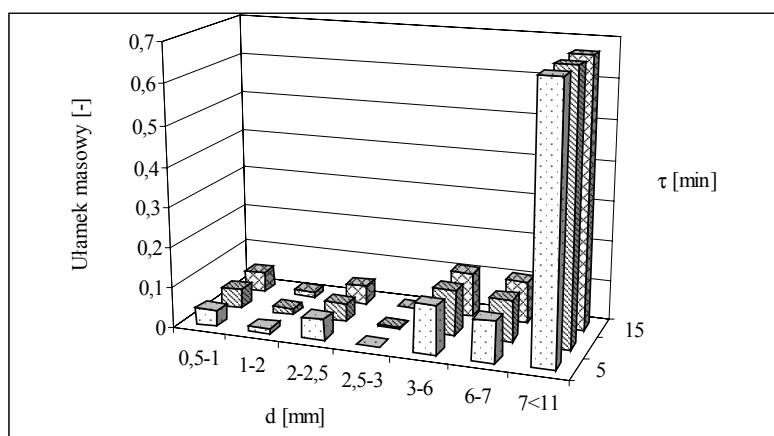
Rys. 2. Udziały wagowe powstałego granulatu F w stosunku do wsadu w zależności od czasu granulacji oraz kąta pochylenia talerza granulatora. Wielkość wypełnienia 200 g

Fig. 2. Mass fraction of granulated material F in relation to material charge depending on granulation time and leaning angle of granulator's plate. Filling weight 200 g

Jak wynika z wykresu, przy takim wsadzie najwięcej masy granulatu otrzymano przy kącie pochylenia talerza  $\beta=45^\circ$ . Najgorszy rezultat granulowania (udział zgranolowanej masy w stosunku do wsadu równy 87%) uzyskano przy  $\beta=55^\circ$  i czasie granulacji  $\tau=15 \text{ min}$ .

Kolejny histogram (rys. 3) przedstawia wpływ czasu granulacji na rozkład średnic granul i ich ułamek masowy dla wypełnienia talerza  $m_o = 200$  g i kąta pochylenia talerza  $\beta = 45^\circ$ .

Z rysunku 3 wynika, że przedłużenie czasu granulacji w granicach 5÷15 minut nie spowodowało uchwytnych zmian ułamka masowego w obrębie poszczególnych frakcji granul. Największy udział w masie granulatu przypadał na frakcję o wymiarach 7-11 mm. Jej ułamek masowy wynosił ok. 0,65. Ułamki masowe pozostałych frakcji mieściły się w zakresie 0,01÷0,1.



Rys. 3. Ułamki masowe frakcji granul w zależności od czasu granulacji dla wielkości wypełnienia 200g i kąta pochylenia talerza  $45^\circ$

Fig. 3. Fractions of granules mass fraction depending on granulation time with the weight of filling 200g and the plate's leaning angle  $45^\circ$

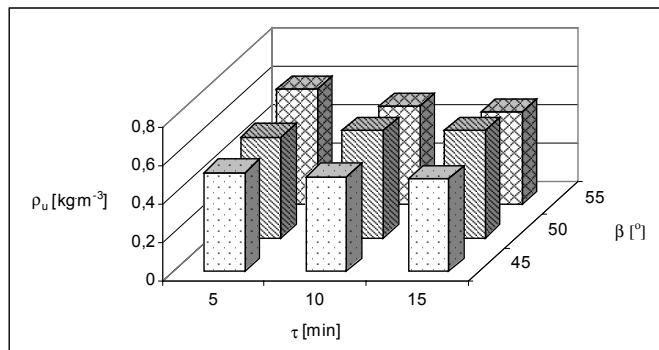
Jak wiadomo powstawaniu granul towarzyszy zmiana gęstości usypowej, powierzchni właściwej granul oraz porowatości ich złożą.

Na rys. 4 przedstawiono dla stałego udziału wsadu surowca w granulatorze zmiany gęstości usypowej granulatu w zależności od czasu granulacji  $\tau$  i kąta pochylenia talerza granulatora  $\beta$ .

Z kolei rys. 5 prezentuje wpływ kąta pochylenia  $\beta$  na zmiany powierzchni właściwej granul oraz porowatości ich złożą.

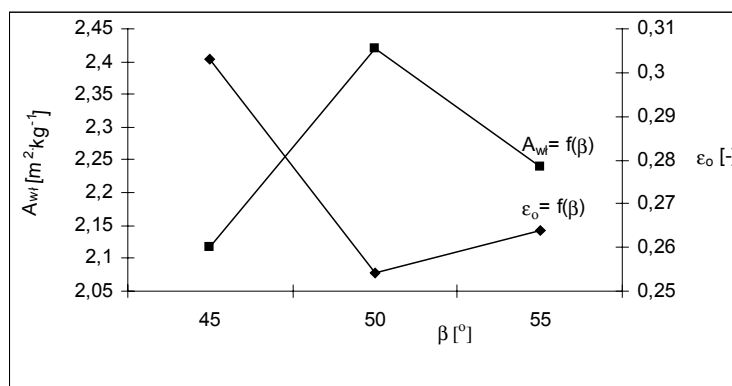
Na podstawie rys. 4 trudno jednoznacznie wnioskować o wpływie czasu granulacji  $\tau$  i kąta  $\beta$  (w podanych granicach) na zmiany na zmiany gęstości usypowej, która wałała się w granicach  $400\text{-}550 \text{ kg m}^{-3}$ .

Jak wynika z wykresu 5 zwiększenie kąta pochylenia talerza  $\beta$  od  $45^\circ$  do  $50^\circ$  skutkowało zwiększeniem powierzchni właściwej  $A_{wl}$  granul od ok.  $2,1$  do  $2,4 \text{ m}^2 \text{ kg}^{-1}$  oraz spadkiem porowatości  $\epsilon_o$  od ok.  $0,3$  do ok.  $0,25$ . Przy dalszym zwiększeniu kąta pochylenia  $\beta$  do  $55^\circ$  wielkość  $A_{wl}$  zmalała do  $2,25 \text{ m}^2 \text{ kg}^{-1}$ , przy wzroście porowatości  $\epsilon_o$  do ok.  $0,26$ . Należy zaznaczyć, że prezentowane wyniki są fragmentaryczne i dotyczą badań wstępnych.



Rys. 4. Gęstość usypowa granulatu dla wielkości wypełnienia 200 g w zależności od kąta pochylenia talerza  $\beta$  i czasu granulacji  $\tau$

Fig. 4. Granulated material coning density with the filling weight of 200 g depending on the plate's leaning angle  $\beta$  and the granulation time  $\tau$



Rys. 5. Wpływ kąta pochylenia talerza  $\beta$  względem poziomu na wielkość powierzchni właściwej granul  $A_{wl}$  oraz porowatość złożu  $\varepsilon_o$  ( $\tau = 5$  min)

Fig. 5. The influence of the plate's leaning angle  $\beta$  with respect to the level on granules surface  $A_{wl}$  and crops porosity  $\varepsilon_o$  ( $\tau = 5$  min)

## WNIOSKI

1. Dla wypełnienia talerza granulatora wsadem o składzie 0,1 kg otrębów pszennych oraz 0,1 kg gęstwy drożdżowej – najwięcej masy granulatu otrzymano przy kącie pochylenia talerza  $\beta=45^\circ$ .
2. Przedłużenie czasu granulacji od 5 do 15 minut nie spowodowało uchwytnych zmian ułamka masowego w obrębie poszczególnych frakcji granul.

3. Największy udział w masie granulatu stanowiła frakcja o wymiarach 7÷11 mm wynosząca 0,65 ułamka masowego otrzymanych granul.
4. Zwiększenie kąta pochylenia talerza od 45 do 50° skutkowało wzrostem powierzchni właściwej złożą granul od 2,1 do 2,4  $\text{m}^2\text{kg}^{-1}$  oraz spadkiem jego porowatości od 0,3 do 0,25.

### Bibliografia

Korpal W. 1999. O możliwości wykorzystania granulacji talerzowej w przemyśle rolno-spożywczym. Maszyny Dla Przetwórstwa Płodów Rolnych. Biuletyn nr 2(11). s. 13-15.

## PLATE GRANULATION OF WHEAT BRAN WITH USING OF YEAST SLURRY AS A BING LIQUIDS

**Abstract.** The influence of the angle that was used to lean the granulator's plate and the time of granulation on granules' size layout, their surface, coning density and the porosity of granulated crops was examined. Diagrams were used to describe the results.

**Key words:** plate granulation, wheat bran, yeast slurry

**Adres do korespondencji:**

Stanisław Peroń; e-mail: stanislaw.peron@up.wroc.pl  
Uniwersytet Przyrodniczy we Wrocławiu  
Instytut Inżynierii Rolniczej  
ul Chełmińskiego 37/41  
51-630 Wrocław